

Определение критических напряжений в оболочках больших гибкостей

Т.М. Чапаев, С.О. Курбанов, А.А. Созаев, Э.Э. Кертиева

Кабардино-Балкарский государственный аграрный университет, Нальчик

Аннотация: Данная статья посвящена определению критических напряжений в оболочках больших гибкостей. Задача решалась с помощью энергетического критерия в форме Ритца-Тимошенко, являющегося одним из наиболее часто применяемых при решении задач устойчивости. Это обусловлено тем, что с энергетических позиций можно лучше описать особенности поведения любой системы, и при этом решения задач получаются более простыми. Кроме того упрощается учет влияния таких факторов как начальные совершенства, силы трения между оболочкой и обмоткой, а также и другие особенности задачи устойчивости предварительно напряженной оболочки.

Ключевые слова: расчет устойчивости, устойчивость стенки, предварительное напряжение, внутреннее боковое давление, упругий отпор.

Задача определения критических напряжений в оболочках решается с помощью энергетического критерия в форме Ритца-Тимошенко, являющегося одним из наиболее часто применяемых при решении задач устойчивости [1-4]. Это обусловлено тем, что с энергетических позиций можно лучше описать особенности поведения любой системы, и при этом решения задач получаются более простыми. Кроме того упрощается учет влияния таких факторов, как начальные совершенства, силы трения между оболочкой и обмоткой, а также и другие особенности задачи устойчивости предварительно напряженной оболочки.

Согласно энергетическому критерию Ритца-Тимошенко потенциальная энергия системы (оболочка-обмотка) до потери устойчивости будет равна потенциальной энергии системы после потери устойчивости [5, 6].

Если принять, что до потери устойчивости потенциальная энергия системы равна U_0 , а после потери устойчивости U , то можно записать:

$$U - U_0 = 0. \quad (1)$$

Потенциальная энергия системы после потери устойчивости определя-

ется выражением:

$$U = U_{ОБМ} + U_C + U_{ТР} + U_H + U_m + П, \quad (2)$$

- где: $U_{ОБМ}$ – потенциальная энергия деформации обмотки при выпучивании оболочки;
- U_C – потенциальная энергия деформации оболочки при изменении усилия в ней;
- $U_{ТР}$ – потенциальная энергия сил трения между оболочкой и обмоткой возникающих при их взаимном сдвиге в момент выпучивания;
- U_H – потенциальная энергия изгиба оболочки;
- U_m – потенциальная энергия образования шарнира пластичности в точке заострения;
- $П$ – потенциал сил радиального давления обмотки на оболочку.

Критическое усилие можно определить как минимальное, при котором потенциальная энергия системы до и после потери устойчивости не изменяется [2, 4, 5].

Для определения составляющих, входящих в уравнение баланса энергии в формуле (1), необходимо задать линию прогибов. От правильности выбора функции, аппроксимирующей линию прогибов, зависит точность получаемого решения. В работах [3, 6, 7, 8] принимается, что при потере устойчивости оболочка не выпучивается за начальный контур, однако экспериментальные данные [9,10] показывают, что это не всегда так. Величина деформаций зависит от изгибной жесткости обмотки: при абсолютно гибкой обмотке она будет максимальной, а при абсолютно жесткой выпучивания за наружный контур не произойдет.

Для случаев, когда жесткость обмотки соизмерима с жесткостью оболочки, то есть при соотношении толщины обмотки и оболочки $t_2/t_1 = 0,1 \div 1,0$, принято выражение для прогибов, достаточно близко отражающее экспериментальные формы выпучивания оболочки [11].

При потере устойчивости гибких стальных оболочек с гибкостью

оболочки $\lambda > 300$, в соответствие с экспериментальными данными, наиболее вероятно плавная форма вмятины без заострения в центре, соответствующая схеме на рис. 1.

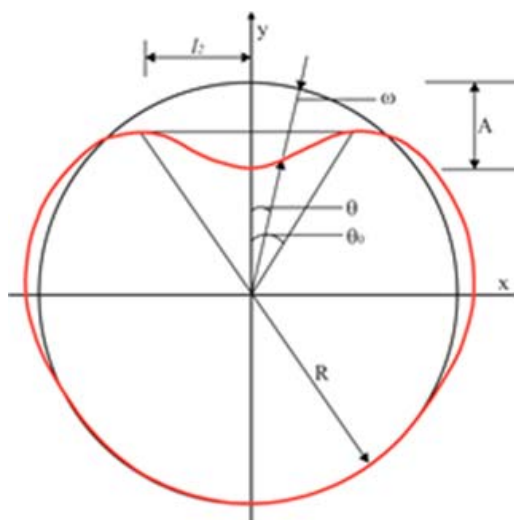


Рисунок 1 Потеря устойчивости гибкой стальной оболочки при $\lambda > 300$

Как показали исследования, потеря устойчивости таких оболочек происходит при напряжениях, намного меньших предела текучести, вследствие чего образования шарнира пластичности не происходит. Поэтому в уравнении баланса энергии не входит потенциальная энергия образования шарнира пластичности и выражение (1), можно записать в следующем виде:

$$\Delta U = U_{ОБМ} + U_C + U_{TP} + U_H + \Pi - U_0 = 0, \quad (3)$$

где: U_0 – потенциальная энергия системы.

Как показали экспериментальные исследования [11], величина критических усилий определяется по формуле:

$$N_0 = \frac{U_H + \frac{t_1^2}{2} \sigma_{T1} \varphi + \pi R B_2 \xi^2 \left(1 + \frac{B_2}{B_1} \right) + B_2 \xi C_1}{2\pi R \xi \left(1 + \frac{B_2}{B_1} \right) + C_1 - f_{TP} \xi \left(\pi - \frac{\theta_0}{2} \right)^2 R}. \quad (4)$$

где: B_1 – расчетная ширина кольца, вырезанного из оболочки, обычно

принимаемая равной единице;
 B_2 – жесткость обмотки на растяжение, $B_2 = E_2 t_2$;
 σ_{T1} – предел текучести стали оболочки;
 θ_0, θ, f – см. рис. 1.

Для определения составляющих входящих в уравнение (4), примем выражение аппроксимирующее линию прогибов наиболее близко отражающее фактическую форму, полученную при испытаниях [9, 10]:

$$w = f \left(\cos \frac{3}{2} \theta + \frac{1}{\eta_{об}} \cos^2 \frac{3}{2} \theta \right), \quad (5)$$

где: $\eta_{об}$ – варьируемый параметр, характеризующий степень выпучивания оболочки за начальный круговой контур при потере устойчивости в зависимости от жесткости обмотки.

После преобразований получаем:

$$f = \frac{R}{\cos \frac{3}{2} \theta_0 \left(1 + \frac{\cos 1,5 \theta_0}{\eta_{об}} \right) + 3 \sin \frac{3}{2} \theta_0 \operatorname{ctg} \theta_0 \left(\frac{1}{2} + \frac{1}{\eta_{об}} \cos \frac{3}{2} \theta_0 \right)}. \quad (6)$$

Полная длина обмотки, окружающей оболочку после потери устойчивости определяется по формуле:

$$l = 2(l_1 + l_2). \quad (7)$$

Относительная деформация обмотки ξ_1 (уменьшение ее длины вследствие потери оболочкой устойчивости) в случае, когда оболочка не имеет начальных вмятин, может быть определена по формуле:

$$\xi_1 = \frac{2\pi R - l}{2\pi R}. \quad (8)$$

В реальных оболочках обычно имеются начальные вмятины и форму этих вмятин можно принять в запас устойчивости, совпадающей с той, которая образуется при потере устойчивости:

$$w_0 = f_0 \left(\cos \frac{3}{2} \theta + \frac{1}{\eta_{об}} \cos^2 \frac{3}{2} \theta \right), \quad (9)$$

где: f_0 – амплитуда начального прогиба оболочки.

Наличие начальных вмятин приводит к уменьшению относительной деформации обмотки при выпучивании оболочки на величину. Поэтому формула для определения относительной деформаций обмотки с учетом формул (5) ÷ (9) после интегрирования и соответствующих преобразований имеет вид:

$$\xi = \xi_1 - \xi_0 = 1 - \frac{1}{\pi R} \left\{ R \left[X_1 + X_2 + (X_3 + X_4 + X_5) \frac{1}{2R^2} \right] + \left[R - (f - f_0) \left(\cos \frac{3}{2} \theta_0 + \frac{1}{\eta_{об}} \cos^2 \frac{3}{2} \theta_0 \right) \sin \theta_0 \right] \right\}, \quad (10)$$

где:

$$X_1 = Y_1 - (f - f_0) \frac{\pi - \theta_0}{2\eta_{об} R}, \quad Y_1 = \pi - \theta_0 + \frac{2}{3R} (f - f_0) \left(1 + \sin \frac{3}{2} \theta_0 \right),$$
$$X_2 = (f - f_0) \frac{\sin 3\theta_0}{6\eta_{об} R}, \quad X_3 = \frac{9}{8} (f - f_0)^2 \left(\pi - \theta_0 + \frac{1}{3} \sin 3\theta_0 \right),$$
$$X_4 = -\frac{2(f - f_0)^2}{\eta_{об}} \left(1 + \sin^3 \frac{3}{2} \theta_0 \right), \quad X_5 = \frac{9(f - f_0)^2}{8\eta_{об}^2} \left(\pi - \theta_0 + \frac{1}{6} \sin 6\theta_0 \right).$$

Зная из формулы (10) относительную деформацию обмотки ξ , можно определить потенциальную энергию деформации обмотки в процессе выпучивания оболочки по формуле:

$$U_{обм} = \frac{t_2}{E_2} R \int_0^\pi \frac{(N_0 - B_2 \xi)^2}{t_2^2} d\theta = \frac{\pi R (N_0 - B_2 \xi)^2}{B_2}. \quad (11)$$

С учетом формулы (10), принимаем, что силы трения между оболочкой и обмоткой, возникающие в момент выпучивания оболочки, равномерно распределены по всему периметру соприкосновения между ними, поэтому

потенциальная энергия этих сил выражается формулой:

$$U_{TP} = 2R \int_{\frac{\theta_0}{2}}^{\pi} f_{TP} \frac{N_0}{R} \xi (\pi - \theta) R d\theta dx = N_0 f_{TP} \xi R \left(\pi - \frac{\theta_0}{2} \right)^2. \quad (12)$$

Энергия деформации оболочки при изменении кольцевого сжимающего усилия в ней в результате выпучивания с учетом формулы (10), определяется по формуле:

$$U_C = \frac{t_1}{E_1} R \int_0^{\pi} \frac{(N_0 - B_2 \xi)^2}{t_1^2} d\theta = \frac{\pi R (N_0 - B_2 \xi)^2}{B_1}. \quad (13)$$

Энергию изгиба оболочки при выпучивании с учетом влияния начальных вмятин и изгибной жесткости обмотки можно определить по формуле:

$$U_H = \frac{1}{R^3} \left[\frac{E_1 t_1^3}{12(1 - \mu^2)} + \frac{E_0 (m t_2)^3}{24} \right] (f - f_0)^2 \left[\frac{25\pi}{32} - \frac{10}{9\eta_{об}} + \frac{51\pi}{8\eta_{об}^2} \right]. \quad (14)$$

Потенциал сил радиального давления для данной формы выпучивания оболочки определим с учетом формул (6), (9) и (10) по формуле:

$$\Pi = (N_0 - B_2 \xi) C_2, \quad (15)$$

где: $C_2 = (f - f_0) \left[\frac{4}{3} \left(1 + \sin \frac{3}{2} \theta_0 \right) + \frac{\pi - \theta_0}{\eta_{об}} - \frac{\sin 3\theta_0}{3\eta_{об}} + \frac{1}{3} \sin \frac{3}{2} \theta_0 + \frac{1}{12} \eta_{об} \sin 3\theta_0 + \frac{\theta_0}{4\eta_{об}} \right].$

Потенциальная энергия системы до потери устойчивости оболочки определяется выражением:

$$U_0 = \frac{t_1}{E_1} R \int_0^{\pi} \frac{N_0^2}{t_1^2} d\theta + \frac{t_2}{E_2} R = \pi R N_0^2 \left(\frac{1}{B_1} + \frac{1}{B_2} \right), \quad (16)$$

Из формулы (2) с учетом полученных результатов, определим значения

N_0 по формуле:

$$N_0 = \frac{U_n + \pi R B_2 \xi^2 (1 + B_1/B_2) + B_2 \xi C_2}{2\pi R \xi (1 + B_1/B_2) + C_2 - f_{mp} \xi R \left(\pi - \frac{\theta_0}{2} \right)^2}. \quad (17)$$

Изменяя θ_0 от 0,01 до 0,49 с шагом 0,01, а $\eta_{об}$ – от 1 до 2 с шагом 0,05 численным путем определяем минимальное значение критического сжимающего усилия в оболочке $N_{кр}$, а затем критические напряжения $\sigma_{кр} = N_{кр}/t_1$.

На рис. 2 приведены результаты, полученные по формуле (17) в сравнении с экспериментальными данными, взятыми из [4]. Расчеты выполнены при:

$$E_1 = 2,1 \cdot 10^5 \text{ МПа}, \quad E_2 = 2,0 \cdot 10^5 \text{ МПа}, \quad t_1 = t_2 = 0,02 \text{ см}, \quad f_0 = t_1,$$

$$\lambda = R/t_1 = 200 \div 400, \quad f_{тр} = 0,3 \text{ и } f_{тр} = 0.$$

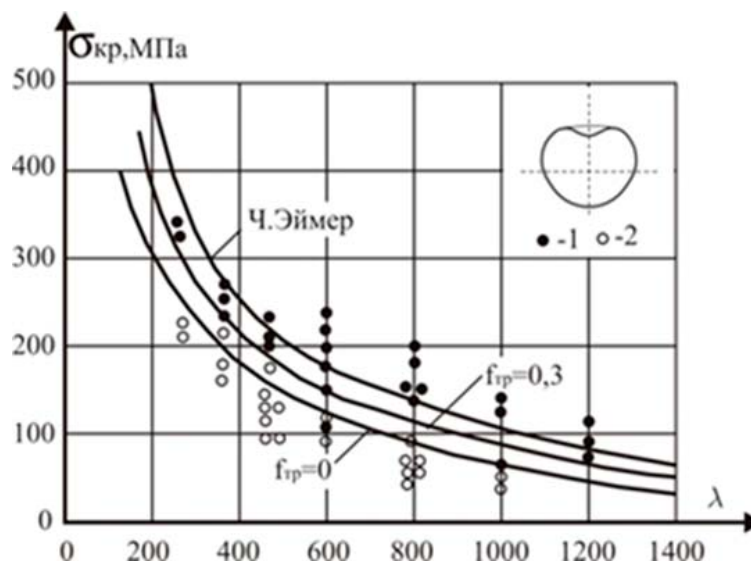


Рисунок 2 – Зависимость критических напряжений от гибкости

Снижение экспериментальных величин критических напряжений при отсутствии сил трения (точки 2) по отношению к результатам с учетом сил трения (точки 1) составляет в среднем 20÷30%, а теоретические

величины критических напряжений, получаемых по формуле (17) при $f_{mp} = 0$ и ниже на 15÷20%, чем при $f_{mp} = 0$.

В целом, результаты, получаемые по формуле (17) при $f_{mp} = 0,3$, примерно на 10% меньше средних данных, полученных экспериментально [4], и результатов, получаемых по формуле Ч. Эймера [3].

На рис. 3 приведена зависимость критических напряжений от жесткости обмотки. Видно, что при изменении соотношения t_0/t_1 от 0,2 до 1,0 величина критических напряжений увеличивается в среднем в 2 раза, то есть в этом случае влияние жесткости обмотки сказывается в большей степени, чем для оболочек, теряющих устойчивость по форме с заострением в центре вмятины (см. рис. 1). Это, по-видимому, объясняется тем, что для второй формы выпучивания характерно выпучивание оболочки за наружный контур в большей мере, чем для первой формы и поэтому зависимость критических напряжений от жесткости обмотки проявляется в большей степени.

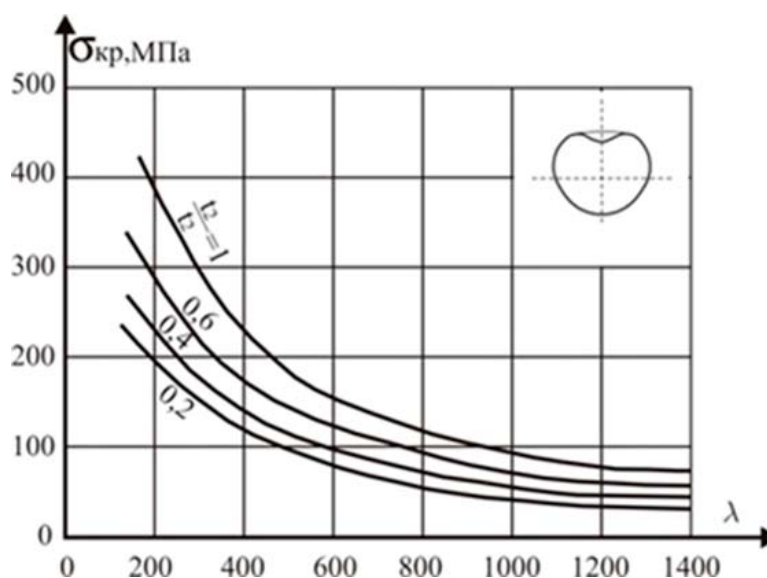


Рисунок 3 – Зависимость критических напряжений от относительной жесткости обмотки

Результаты расчета оболочек при различных величинах начального

прогиба показали, что при изменении f_0 от $0,01t_1$ до $2t_1$ величина критических напряжений снижается на $18\div 22\%$.

Таким образом, по формуле (17) можно получить величину критических напряжений с учетом влияния всех основных факторов: жесткости обмотки, сил трения, начальных несовершенств.

Литература

1. Александров А.В., Лащенко Б.Я. О применении энергетического метода в задачах устойчивости упругих систем // Строительная механика и расчет сооружений. М.: 1965. №5. 32 с.
2. Алфутов Н.А. Основы расчета на устойчивость упругих систем. М.: «Машиностроение», 1978. 311 с.
3. Алфутов Н.А., Балабух Н.А. Энергетический критерий устойчивости упругих тел, не требующий определения начального состояния // ПММ, т. XXXII, вып. 1, 1968. 703-707 с.
4. Астряб С.М. Экспериментальные исследования устойчивости тонкостенного кольца, усиленного натянутой гибкой нитью // Изв. ВУЗов, Сер. Строительство и архитектура. М. 1968. №2. 12-17 с.
5. Fung Y., Sechler E. Buckling of thin walled circular cylinders under axial compression and internal pressure // Aeronaut. Sci. 1957, №5, pp. 24-30.
6. Астряб С.М., Гусев Б.М. Экспериментально-теоретическое исследование прочности предварительно напряженной цилиндрической оболочки // Труды НИИХИММаш. М., 1972, № 56, с. 5-10.
7. Вольмир А.С. О влиянии начальных неправильностей на устойчивость цилиндрических оболочек при внешнем // ДА НСССР, т. 113, №2 (1957). 291-293 с.
8. Massolani F., Ramasanov E. Ricerca sperimentale sulla stabilita dei recipienti

- con avvolgimento sotto pressione esterna // Costruzioni Metalliche, 1980, №4, pp. 187-199.
9. Чапаев Т.М., Хасанов М.М., Амшоков Б.Х. Устойчивость стенки стального силоса при осесимметричном выпучивании и начальном искривлении оболочки, направленном наружу // Инженерный вестник Дона, 2018, № 2. URL: ivdon.ru/ru/magazine/archive/n2y2018/5056.
10. Чапаев Т.М., Балкизов А.Б., Сасиков А.С. Анализ известных теоретических и экспериментальных исследований устойчивости стенки цилиндрического зернохранилища // Инженерный вестник Дона, 2018, № 4. URL: ivdon.ru/ru/magazine/archive/n4y2018/5292.
11. Чапаев Т.М. Определение критических напряжений в оболочках малых гибкостей // Известия КБГАУ. Нальчик, 2017, № 1(15), с. 81-89.

References

1. Aleksandrov A.V., Lathenkov B.Ya. Stroitel'naya mekhanika i raschet sooruzheniy. M.: 1965. №5. 32 p.
2. Alfutov N.A. Osnovy rascheta na ustojchivost' uprugih sistem [Basis of calculation for stability of elastic systems]. M.: «Mashinostroenie», 1978. 311 p.
3. Alfutov N.A., Balabukh N.A. PMM, t. KhKhKhII, vihp. 1, 1968. 703-707 s.
4. Astryab S.M. Izv. VUZov, Ser. Stroiteljstva i arkhitektura. M. 1968. №2. pp. 12-17.
5. Fung Y., Sechler E. Aeronaut. Sci. 1957, №5, pp. 24-30.
6. Astryab S.M., Gusev B.M. Trudih NIIKhIMMash. M., 1972, № 56, pp. 5-10.
7. Voljmir A.S. DA NSSSR, t. 113, №2 (1957), pp. 291-29.
8. Massolani F., Ramasanov E. Costruzioni Metalliche, 1980, №4, pp. 187-199.
9. Чапаев Т.М., Хасанов М.М., Амшоков В.К. Inzhenernyj vestnik



Dona, № 2. URL: ivdon.ru/ru/magazine/archive/n2y2018/5056.

10. Chapaev T.M., Balkizov A.B., Sasikov A.S. Inzhenernyj vestnik Dona, 2018, № 4. URL: ivdon.ru/ru/magazine/archive/n4y2018/5292.

11. Chapaev T.M. Izvestiya KBGAU. Nalchik, 2017, № 1(15), pp. 81-89.